

Автомодельное решение нелинейного уравнения диффузии для спектральной плотности энергии турбулентности*

В. Н. ГРЕБЕНЁВ¹, С. В. НАЗАРЕНКО², И. В. ШВАБ^{1,4}, Ю. А. ЧИРКУНОВ¹,
Г. Г. ЛАЗАРЕВА^{3,4}, О. В. ШТЫРИНА^{1,4}, С. Б. МЕДВЕДЕВ¹

¹*Институт вычислительных технологий СО РАН, Новосибирск, Россия*

²*Институт математики университета г. Варвик, Англия*

³*Институт вычислительной математики
и математической геофизики СО РАН, Новосибирск, Россия*

⁴*Новосибирский государственный университет, Россия*

e-mail: vngrebenev@gmail.com

Изучается нелинейное вырождающееся уравнение диффузии для феноменологического описания турбулентности, ассоциированное с моделью Лейта. Дано аналитическое обоснование существования автомодельного режима для спектральной плотности энергии турбулентности $E(k, t)$ в пространстве волновых чисел k и проведено численное исследование поведения траекторий в фазовом пространстве соответствующей динамической системы. Рассматриваемое уравнение построено таким образом, что возникают два стационарных решения: колмогоровский спектр, соответствующий каскадному состоянию, и термодинамическое распределение, которое устанавливается в системе. Стационарное состояние в данной модели состоит из “нелинейной смеси” постоянного потока и термодинамической компоненты. Автомодельный режим модели реализуется как автомодельное решение второго рода, для которого формирование спектра на больших волновых числах происходит за конечное время, что было показано ранее в результате численных экспериментов в случае исчезающей вязкости и отсутствия внешних сил воздействия.

Ключевые слова: турбулентность, колмогоровский спектр, термодинамическое распределение, автомодельное решение, гетероклиническая траектория.

Введение

Уравнение, предложенное в [1], записывается в виде, близком к модели Лейта [2]:

$$\frac{\partial E}{\partial t} = \frac{1}{8} \frac{\partial}{\partial k} \left(k^{11/2} E^{1/2} \frac{\partial}{\partial k} (E/k^2) \right) + f - \nu k^2 E, \quad (1)$$

где t — время, k — абсолютное значение волнового числа, f — внешняя сила, ν — коэффициент кинематической вязкости. Спектр энергии турбулентности $E(k, t)$ нормирован

*Работа выполнена при финансовой поддержке РФФИ (гранты № 12-01-00234-а и 12-01-00648-а) и ФЦП “Научные и научно-педагогические кадры инновационной России на 2012–2013 годы” (контракт 8504).

таким образом, что плотность кинетической энергии равна $\int E dk$. Отметим, что уравнение (1) является частным случаем семейства уравнений, изучаемых в работе [3], и при отсутствии внешних сил и диссипативных членов имеет в качестве стационарного решения в дополнение к колмогоровскому спектру $E(k) = P^{2/3} k^{-5/3}$ термодинамический спектр $E(k) = Q^{2/3} k^2$, где P и Q постоянны. Общее стационарное решение уравнения является нелинейной комбинацией этих спектров. Как показано в [1], стационарный спектр возникает либо при наличии внешних сил, либо в случае, когда начальные условия сосредоточены в окрестности достаточно малых значений волновых чисел k . При этом происходит распространение фронта плотности кинетической энергии турбулентности в направлении больших $k \rightarrow \infty$ и за фронтом устанавливается степенной колмогоровский спектр.

Введённое в рассмотрение автомодельное решение (см. [1]) уравнения (1) в случае исчезающей вязкости и отсутствия внешних сил есть следствие допустимости уравнением двухпараметрической группы растяжений, особенностью которой является невозможность вычисления её параметров на основе законов сохранения и анализа размерности задачи. Данный тип автомодельных решений относится к понятию автомодельности второго рода, введённому в пионерных работах Л.Д. Ландау и К.П. Станюковича, а также Г. Гудерлея [4–6]. Отметим, что уравнение (1) близко связано с уравнением нелинейной диффузии в неоднородной среде

$$|y|^l \frac{\partial u}{\partial t} = \frac{\partial}{\partial y} \left(|y|^m u^\beta \frac{\partial u}{\partial y} \right), \quad \beta > 0. \quad (2)$$

Автомодельные решения уравнения (2) изучались в [7], где анализируемый набор параметров не охватывает случай показателей неоднородности среды, рассматриваемый в настоящей работе. В данном контексте полученные в представленной статье результаты можно рассматривать как развитие работы [7] в направлении изучения такого автомодельного режима нелинейной диффузии в неоднородной среде, при котором происходит неограниченный рост носителя решения уравнения за конечное время. Кроме того, результаты аналитического исследования соответствующей динамической системы, порождаемой уравнением (1) в отсутствие внешних сил и исчезающей вязкости, иллюстрируются численными экспериментами, показывающими поведение траекторий системы на фазовой плоскости.

Сохранение рассматриваемой моделью симметричных свойств уравнений Навье—Стокса делают её полезной при исследовании формирования промежуточного асимптотического режима, найденного численно в [1] для так называемого явления “тёплого” каскада, возникающего в турбулентности, который в рамках уравнения (1) описывается изучаемым автомодельным решением.

Существование автомодельного решения

Рассмотрим уравнение (1) в случае исчезающей вязкости и отсутствия внешних сил воздействия на неоднородную среду

$$\frac{\partial E}{\partial t} = \frac{1}{8} \frac{\partial}{\partial k} \left(k^{11/2} E^{1/2} \frac{\partial}{\partial k} (E/k^2) \right). \quad (3)$$

Уравнение (3) допускает следующее представление решения в автомодельном виде:

$$E = (t_* - t)^a F(\eta), \quad \eta = k/k_*, \quad k_* = c(t_* - t)^b, \quad (4)$$

где a, b, c — константы такие, что a, c — положительные, а b — отрицательная величины, при этом a и b удовлетворяют соотношению

$$a = -2 - 3b. \quad (5)$$

Тогда уравнение для функции F запишем как

$$(3b + 2)F + b\eta \frac{dF}{d\eta} = \frac{C^{3/2}}{8} \frac{d}{d\eta} \left(\eta^{11/2} F^{1/2} \frac{d}{d\eta} (\eta^{-2} F) \right) \quad (6)$$

и будем искать F в классе неотрицательных функций, где она ведёт себя как $F_0 \eta^{-x}$ при $\eta \rightarrow 0$ и как $\frac{b^2}{4}(1 - \eta)^2$ при $\eta \rightarrow 1$, где $x = -a/b$, а F_0 — произвольная положительная константа. Подходящим масштабным преобразованием константа c и коэффициент $C^{3/2}/8$ могут быть приравнены к единице, и тогда (6) примет следующий вид, где a и b выражены в терминах параметра x :

$$\frac{2}{x - 3} \left(\eta \frac{dF}{d\eta} + xF \right) = \frac{d}{d\eta} \left(\eta^{11/2} F^{1/2} \frac{d}{d\eta} (\eta^{-2} F) \right). \quad (7)$$

Для уравнения (7) получаем нелинейную краевую задачу на собственные значения, в которой необходимо найти значение параметра x вместе с функцией F , удовлетворяющей вышеприведённым краевым условиям. Уравнение (7) может быть сведено к автономному уравнению с помощью подстановки

$$F = \frac{1}{25} \eta^{-3} f^2, \quad \frac{dF}{d\eta} = \frac{3}{25} \eta^{-4} fg, \quad (8)$$

где $f(s)$ и $g(s)$ — функции переменной $s = \ln \eta$, что позволяет получить на них систему дифференциальных уравнений первого порядка

$$\begin{aligned} \frac{df}{ds} &= \frac{3}{2}(f + g), \\ f \frac{dg}{ds} &= \frac{1}{3} \left(5f^2 + 6fg - 9g^2 + \frac{10}{x - 3}(3g + xf) \right). \end{aligned} \quad (9)$$

Далее преобразованием

$$\frac{d}{ds} = \frac{1}{f} \frac{d}{d\tau}, \quad \rho(\tau) = f(s), \quad \sigma(\tau) = g(s)$$

система (9) сводится к виду, пригодному для её последующего изучения в рамках теории динамических систем:

$$\begin{aligned} \frac{d\rho}{d\tau} &= \frac{3}{2}\rho(\rho + \sigma), \\ \frac{d\sigma}{d\tau} &= \frac{1}{3} \left(5\rho^2 + 6\rho\sigma - 9\sigma^2 + \frac{10}{x - 3}(3\sigma + x\rho) \right). \end{aligned} \quad (10)$$

Состояниями равновесия системы (10) на фазовой плоскости (ρ, σ) являются следующие точки фазовой плоскости: $P_1 = (0, 0)$, $P_2 = (0, 10/3(x-3))$ и $P_3 = (1, -1)$. Сразу отметим, что искомая траектория системы расположена в квадранте $\rho > 0$, $\sigma < 0$. Переменной $\eta \rightarrow 0$ соответствует $\tau \rightarrow -\infty$, и так как $F \sim \eta^{-x}$, $dF/d\eta \sim -x\eta^{-x-1}$ при $\eta \rightarrow 0$ получаем $f \sim 5\eta^{(3-x)/2}$ и $g \sim -(5/3)x\eta^{(3-x)/2}$. Отметим также, что значение искомого параметра x принадлежит интервалу $(0, 3)$. Граница фронта автомодельного решения (6) соответствует значению $\eta = 1$ или $\tau \rightarrow \infty$. Фактически границей фронта автомодельного решения является точка равновесия P_2 , где $f \sim -5/2(b\eta^{3/2}(1-\eta))$ и $g \sim 5b/3$ (см. [8]). Точка равновесия P_3 соответствует точному решению уравнения (7), равному $F = (1/25)\eta^{-3}$. Дифференциал правой части системы (10) имеет следующий вид:

$$\Delta(\rho, \sigma) = \begin{pmatrix} 3\rho + \frac{3}{2}\sigma & \frac{3}{2}\rho \\ \frac{1}{3}\left(10\rho + 6\sigma + \frac{10x}{x-3}\right) & \frac{1}{3}\left(6\rho - 18\sigma + \frac{30}{x-3}\right) \end{pmatrix}. \quad (11)$$

Тогда

$$\Delta(0, 0) = \begin{pmatrix} 0 & 0 \\ \frac{10x}{3(x-3)} & \frac{10}{x-3} \end{pmatrix}$$

и точка $P_1 = (0, 0)$ является вырожденной особой точкой линеаризованной системы с собственными значениями $\lambda_1 = 10/(x-3)$, $\lambda_2 = 0$ и собственными векторами

$$e_1 = (0, 1), \quad e_2 = \left(1, -\frac{x}{3}\right).$$

Следовательно, устойчивое многообразие динамической системы (10) лежит на оси σ , в то время как центральное многообразие, которое мы обозначим через U_x , выходит из начала координат полуплоскости $\rho > 0$ с коэффициентом угла наклона, равным $-x/3$.

В точке $P_2 = (0, 10/3(x-3))$ имеем

$$\Delta(0, 10/3(x-3)) = \begin{pmatrix} \frac{5}{x-3} & 0 \\ \frac{10(2+x)}{3(x-3)} & -\frac{10}{x-3} \end{pmatrix},$$

поэтому она является вырожденной особой точкой линеаризованной системы с соответствующими собственными значениями $\lambda_1 = 5/(x-3)$, $\lambda_2 = -10/(x-3)$ и собственными векторами

$$e_1 = \left(1, \frac{2x+4}{9}\right), \quad e_2 = (0, 1).$$

Неустойчивое многообразие лежит на оси σ , и устойчивое многообразие, которое обозначим через S_x , имеет коэффициент угла наклона с осью ρ , равный $\frac{2x+4}{9}$ в точке P_2 . Отметим, что многообразия (орбиты) U_x и S_x зависят от параметра x непрерывно [9].

В точке $P_3 = (1, -1)$ дифференциал равен

$$\Delta(1, -1) = \begin{pmatrix} \frac{3}{2} & \frac{3}{2} \\ \frac{4}{3} + \frac{10x}{3(x-3)} & 8 + \frac{10}{x-3} \end{pmatrix}.$$

Собственные значения

$$\lambda_{1,2} = \frac{1}{2} \left\{ \frac{19}{2} + \frac{10}{x-3} \pm \sqrt{\left(\frac{19}{2} + \frac{10}{x-3} \right)^2 - 20} \right\}$$

являются комплексными для $x \in (1.02, 2.29)$ и вещественными для $x \in (0, 1.02)$ и $x \in (2.29, 3)$, соответственно $\text{Re}\lambda_{1,2} > 0$ при $x < 1.95$ и $\text{Re}\lambda_{1,2} < 0$ при $x > 1.95$. Бифуркации Хопфа существуют при $x = 1.95$. Таким образом, точка $(1, -1)$ является неустойчивым узлом при $x \in (0, 1.02)$, и неустойчивым фокусом при $x \in (1.02, 1.95)$ и соответственно устойчивым узлом при $x \in (2.28, 3)$ и устойчивым фокусом при $x \in (1.95, 2.28)$. Чтобы показать разрешимость рассматриваемой нелинейной задачи на собственные значения, необходимо доказать существование значения x^* параметра x такого, что многообразия U_{x^*} и S_{x^*} совпадают, т. е. установить существование гетероклинической траектории, соединяющей точки $P_1 = (0, 0)$ и $P_2 = (0, 10/3(x-3))$ на фазовой плоскости (ρ, σ) . Сначала приведём несколько лемм о свойствах траекторий (орбит) динамической системы (10).

Лемма 1. *Существует решение системы (10) в виде $\sigma(\tau) = -(5/9)\rho(\tau) = -(x/3) \times \rho(\tau)$ с параметром $x = 5/3$.*

Доказательство этой леммы основано на прямых вычислениях. Заметим, что чисто колмогоровский спектр $E = \text{const} \cdot k^{-5/3}$ соответствует $x = 5/3$ (см. [1]) и соответствующее неустойчивое многообразие (орбита) $U_{5/3}$ “уходит” на бесконечность при $\tau \rightarrow \infty$.

Лемма 2. *Не существует периодических траекторий системы (10), расположенных целиком в областях $\rho + \sigma > 0$ и $\rho + \sigma < 0$.*

Из первого уравнения системы (10) легко показать, что выражение $d\rho/d\tau$ меняет знак, когда траектория пересекает линию $\rho = -\sigma$, что и доказывает утверждение леммы.

Существование точного решения системы (10) позволяет установить нижнюю оценку значения x^* .

Лемма 3. *Неустойчивое многообразие (орбита) U_x не пересекает прямую $\sigma(\tau) = -(5/9)\rho(\tau)$ для $x < 5/3$.*

Предположим, что существует точка (ρ_0, σ_0) , в которой U_x пересекает прямую $\sigma(\tau) = -(5/9)\rho(\tau)$. Можно считать, что многообразие (орбита) U_x задано как функция $\sigma_x = \sigma(\rho, x)$ в окрестности (ρ_0, σ_0) . Для достаточно малых значений ρ и σ , т. е. вблизи начала координат $(0, 0)$, имеем $U_x > \sigma(\tau)$ для $x < 5/3$ и $U_x > \sigma(\tau)$ на интервале $(0, \tau_0)$, где τ_0

определяет (ρ_0, σ_0) . Таким образом, в точке (ρ_0, σ_0) производная $d\sigma_x/d\rho$ меньше или равна $d\sigma/d\rho$. С другой стороны, из системы (10) имеем

$$d\sigma_x/d\rho = \left(5\rho^2 + 6\rho\sigma - 9\sigma^2 + \frac{10}{x-3}(3\sigma + x\rho) \right) / (2\rho(\rho + \sigma)). \quad (12)$$

Рассмотрим разность $d\sigma/d\rho$ и $d\sigma_x/d\rho$ в точке (ρ_0, σ_0) , используя формулу (12). В результате получим

$$d\sigma/d\rho - d\sigma_x/d\rho = \left(-\frac{10}{x-3}(3\sigma_0 + x\rho_0) \right) / (2\rho_0(\rho_0 + \sigma_0)),$$

или

$$d\sigma/d\rho - d\sigma_x/d\rho = \left(-\frac{30\rho_0}{x-3} \left(\frac{\sigma_0}{\rho_0} + \frac{x}{3} \right) \right) / (2\rho_0(\rho_0 + \sigma_0)). \quad (13)$$

Здесь $\sigma_0/\rho_0 = -5/9$, $2\rho_0(\rho_0 + \sigma_0) > 0$. Так как $x < 5/3$, то получим, что правая часть в (13) является отрицательной, что ведёт к противоречию. Таким образом, орбита U_x не может пересечь линию $\sigma(\tau) = -(5/9)\rho(\tau)$.

Следствие 1. *Параметр $x^* > 5/3$.*

Лемма 4. *Неустойчивое многообразие U_x лежит “ниже” линии $\sigma(\tau) = -(5/9)\rho(\tau)$, если $x > 5/3$.*

Доказательство этой леммы аналогично доказательству леммы 3.

Рассмотрим устойчивое многообразие S_x в области $\rho + \sigma < 0$. Докажем свойство монотонности S_x при изменении параметра x .

Лемма 5. *Если $x_1 < x_2$, то S_{x_1} лежит “выше” S_{x_2} в области $\rho + \sigma < 0$.*

Очевидно, что S_{x_1} лежит “выше” S_{x_2} при достаточно малых ρ и $x_1 < x_2$. Предположим, как и при доказательстве леммы 3, что существует точка (ρ_0, σ_0) , в которой S_{x_1} пересекает S_{x_2} . Пусть $\sigma_i = \sigma(\rho, x_i)$ определяет S_{x_i} , $i = 1, 2$, локально и $\sigma_1 = \sigma_2$ при $\rho = \rho_0$. Тогда $d\sigma_1/d\rho \leq d\sigma_2/d\rho$ в точке пересечения S_{x_1} и S_{x_2} . Используя, как и в лемме 3, уравнения системы (10), получим следующую формулу для разницы $d\sigma_1/d\rho - d\sigma_2/d\rho$ в точке ρ_0 :

$$d\sigma_1/d\rho - d\sigma_2/d\rho = 10\rho_0 \left(\frac{3\sigma_0\rho_0^{-1} + x_1}{x_1 - 3} - \frac{3\sigma_0\rho_0^{-1} + x_2}{x_2 - 3} \right) / (2\rho_0(\rho_0 + \sigma_0)), \quad (14)$$

где $\sigma(\rho_0, x_i) = \sigma_0$ в точке пересечения σ_i . Анализируя правую часть формулы (14) и принимая во внимание условие $\rho_0 + \sigma_0 < 0$, приходим к неравенству $d\sigma_1/d\rho > d\sigma_2/d\rho$ при $\rho = \rho_0$. Последнее означает, что S_{x_1} не может пересечь S_{x_2} . Такое же утверждение справедливо и для неустойчивого многообразия U_x в области $\rho + \sigma > 0$.

Лемма 6. *Если $x_1 < x_2$, то U_{x_1} лежит “выше” U_{x_2} в области $\rho + \sigma > 0$.*

Доказательство этого утверждения проводится аналогично доказательству леммы 5. Для завершения доказательства монотонности S_x и U_x вплоть до прямой $\rho + \sigma = 0$ предположим сначала, что S_{x_1} и S_{x_2} пересекают прямую $\rho + \sigma = 0$ в точке (ρ_0, σ_0) , $\rho_0 = -\sigma_0$. В окрестности (ρ_0, σ_0) можно представить S_{x_i} в виде $\rho_i = \rho(\sigma, x_i)$. Тогда из леммы 5 следует, что $\rho_1 < \rho_2$ вблизи (ρ_0, σ_0) . С другой стороны, в окрестности (ρ_0, σ_0) , $\rho_0 = -\sigma_0$ имеем следующее разложение в ряд Тейлора:

$$\begin{aligned} \rho_i(\sigma) = & \rho_0 + \frac{9\sigma_0}{20(\sigma_0^2 + \sigma_0)}(\rho + \sigma)^2 + \\ & + \frac{9}{2} \left(\frac{9\sigma_0^2}{200(\sigma_0^2 + \sigma_0)^2} + 2\sigma \frac{-24\sigma_0 + 30/(x-3)}{100(\sigma_0^2 + \sigma_0)^2} \right) (\rho + \sigma)^3 + \dots, \end{aligned} \quad (15)$$

из которого следует, что $\rho_1(\sigma) > \rho_2(\sigma)$ вблизи (ρ_0, σ_0) для $\rho + \sigma < 0$. Полученное противоречие $\rho_1 < \rho_2$ доказывает, что S_{x_i} не пересекает линию $\rho + \sigma = 0$. Аналогичные вычисления верны для траектории U_{x_i} .

При доказательстве свойства монотонности для S_x и U_x , неявно предполагалось, что S_x и U_x пересекают прямую $\rho + \sigma = 0$. Сначала установим, что для каждого фиксированного x орбита S_x лежит в ограниченной области квадранта $\rho > 0$, $\sigma < 0$. Обозначим производную $d\sigma/d\rho$ через $G(\rho, \sigma)$ и рассмотрим прямоугольный треугольник Γ , ограниченный прямой $\rho = (3/2)\sigma - 5/(x-3)$ (которую обозначим через l) и осями ρ и σ . Заметим, что коэффициент угла наклона прямой l мажорирует коэффициент угла наклона орбиты S_x с осью σ для значений $x > 5/3$. Докажем, что векторное поле, определяемое $G(\rho, \sigma)$, направлено внутрь треугольника Γ . Другими словами, докажем следующее утверждение.

Лемма 7. *Для $\sigma \in (0, 10/3(x-3))$ имеет место неравенство*

$$G(l, \sigma) \leq 2/3. \quad (16)$$

Рассмотрим векторное поле $G(\rho, \sigma)$ и подставим $\rho = l$. Тогда (16) переписывается в виде

$$\frac{45/4\sigma^2 - 15A\sigma + A\sigma^2 + 2Axl}{45/4\sigma^2 - 12A\sigma + 3A^2} \leq 1,$$

что эквивалентно неравенству $-2A^2 + 3A\sigma - 2Axl \geq 0$, где $A = 5/(x-3)$. Неравенство имеет место, если $A(x-1)(2A-3\sigma) \geq 0$. Так как $A < 0$ и $x > 5/3$, то для доказательства достаточно показать, что $2A - 3\sigma \leq 0$, или $10/3(x-3) \leq \sigma$. Последнее неравенство с очевидностью верно, что и завершает доказательство леммы.

Следствие 2. *Орбита S_x всегда пересекают прямую $\rho + \sigma = 0$ при $x > 5/3$.*

Из леммы 7 следует, что орбита S_x , если её рассматривать как неустойчивое многообразие, выходящее из точки равновесия P_2 , не может уйти в области $\rho + \sigma < 0$ на бесконечность с изменением времени и не имеет предельного цикла (см. лемму 2). Если предположить, что орбита S_x не пересекает прямую $\rho + \sigma = 0$, то она должна достигать точки равновесия P_1 , приближаясь к ней ниже прямой $\rho + \sigma = 0$, что ведёт к неравенству $x/3 > 1$ и противоречит условию $x < 3$. Следовательно, орбита S_x должна пересекать прямую $\rho + \sigma = 0$.

Рассмотрим орбиты U_x для значений $x > 5/3$.

Лемма 8. *Существует x^{**} такое, что орбита U_x пересекает прямую $\rho + \sigma = 0$ для всех $x \geq x^{**}$*

Предположим противное, т. е. орбита U_x при всех значениях $x > 5/3$ не пересекает прямую $\rho + \sigma = 0$. Тогда орбита U_x полностью расположена в угле со сторонами $\rho + \sigma = 0$ и $\sigma = (-x/3)\rho$. В силу монотонной и непрерывной зависимости U_x от параметра x , координаты $\rho(\tau)$ и $\sigma(\tau)$ орбиты U_x при каждом фиксированном τ сходятся к конечным значениям при $x \rightarrow 3$. Интегрируя второе уравнение системы (8), получим

$$\sigma(\tau) - \sigma(\tau_0) = \int_{\tau_0}^{\tau} \left(5\rho^2 - 6\rho\sigma - 9\sigma^2 + \frac{10}{x-3}(3\sigma + x\rho) \right) d\tau. \quad (17)$$

Перейдём к пределу в (17), устремляя $x \rightarrow 3$. Предел в левой части существует и конечен. Для существования предела в правой части необходимо положить $\rho(\tau) = -\sigma(\tau)$ при $x \rightarrow 3$. Таким образом, последовательность $U_x(\tau)$ сходится к $\rho(\tau) + \sigma(\tau) = 0$ при $x \rightarrow 3$ для всех $\tau \in (-\infty, \infty)$. Рассмотрим формулы (8) для $F(\eta)$ и $dF(\eta)/d\eta$. Так как $\rho(\tau) = -\sigma(\tau)$, то получим, что $f(\eta) = -g(\eta)$, $\eta \in (0, 1)$. Дифференцируя первое соотношение из формул (8) и сравнивая полученное выражение со вторым соотношением, приходим к равенствам $f(\eta) = \text{const}$, $g(\eta) = -\text{const}$. Следовательно, $\rho(\tau) = \text{const}$, $\sigma(\tau) = -\text{const}$ для $\tau \in (-\infty, \infty)$. Последнее противоречит тому, что $\rho(\tau) + \sigma(\tau) = 0$ определяет прямую на фазовой плоскости (ρ, σ) .

Полученные результаты позволяют доказать следующее утверждение.

Теорема. *Существует гетероклиническая траектория, соединяющая точки равновесия P_1 и P_2 .*

Рассмотрим последовательность точек s_m , $m \rightarrow \infty$, на фазовой плоскости (ρ, σ) , которая образуется в результате пересечения орбит S_{x_m} с прямой $\rho + \sigma = 0$, где x_m — возрастающая последовательность значений параметра x . Обозначим через (ρ_m, σ_m) координату точки s_m , где $\rho_m = -\sigma_m$. В силу монотонной и непрерывной зависимости S_x от параметра x значения ρ_m монотонно и непрерывно возрастают при $m \rightarrow \infty$, соответственно σ_m монотонно и непрерывно убывают при изменении m . Другими словами, точки s_m движутся вниз по биссектрисе угла квадранта (ρ, σ) , $\rho \geq 0$, $\sigma = -\rho$. Принимая во внимание нижнюю оценку значения искомого параметра $x^* > 5/3$, выберем начальное значение параметра x_0 последовательности x_m равным $x_0 = 5/3$. Последовательность точек s_m является неограниченным множеством на прямой $\rho + \sigma = 0$ при $m \rightarrow \infty$ или $x \rightarrow 3$. Предположим противное, тогда существует $\lim_{m \rightarrow \infty} \sigma_m = -\lim_{m \rightarrow \infty} \rho_m = \bar{\sigma} < \infty$. В произвольной окрестности предельной точки рассмотрим интегральное представление для координаты σ_m

$$\sigma(\tau) - \sigma_m = \int_{\tau}^{\tau_m} \left(5\rho^2 - 6\rho\sigma - 9\sigma^2 + \frac{10}{x_m-3}(3\sigma + x\rho) \right) d\tau,$$

где $S_{x_m}(\tau_m)$ определяет точку s_m на прямой $\rho + \sigma = 0$. Выбирая m достаточно большим (или x_m близким к 3), получим, что правая часть интегрального соотношения является сколь угодно большой величиной. В силу конечности значений $\sigma(\tau)$ и σ_m приходим

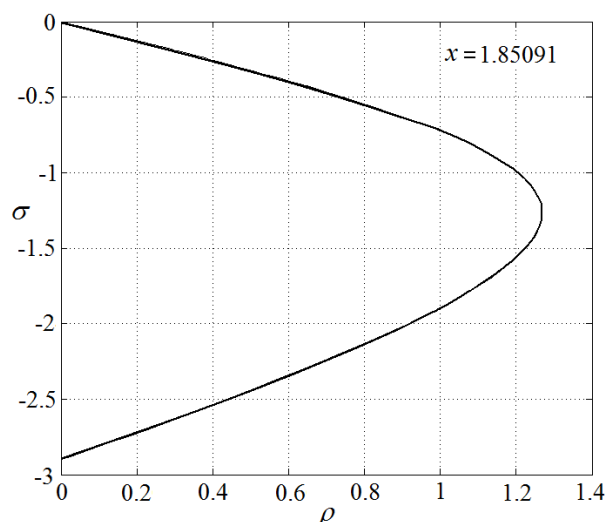


Рис. 1. Гетероклиническая траектория, соединяющая точки равновесия P_1 и P_3 при $x^* = 1.85091$

к противоречию с предположением существования конечного предела последовательности s_m . Что касается точек пересечения орбиты U_x с прямой $\rho + \sigma = 0$ при увеличении параметра x , то ввиду установленных свойств эти точки движутся вдоль прямой по направлению к P_2 . Следовательно, существует единственная точка s^* (и соответственно значение параметра x^*) последовательности s_m , в которой S_x и U_x пересекаются на прямой $\rho + \sigma = 0$. Таким образом, $S_{x^*} \cup U_{x^*}$ порождает гетероклиническую траекторию, соединяющую точки P_1 и P_2 (рис. 1).

А. Визуализация орбит динамической системы

Рисунки 2, *a-g* иллюстрируют поведение траекторий динамической системы (10) при различных значениях x (штриховые линии соответствуют гетероклинической траектории).

Приведённый анализ фазового портрета системы (10) показывает существование решения изучаемой краевой задачи на собственные значения, которое описывается гетероклинической траекторией динамической системы (10). Численное значение параметра x для гетероклинической траектории $x^* = 1.85091$.

В. Граничные условия и область значений для τ

Граничные условия для функции $F(\eta)$ имеют вид

$$F \sim F_0 \eta^{-x} \quad \text{при} \quad \eta \rightarrow 0, \quad F \sim \frac{b^2}{4} (1 - \eta)^2 \quad \text{при} \quad \eta \rightarrow 1, \quad (18)$$

где F_0 — произвольная константа. После перехода к функции f и независимой переменной $s = \ln \eta$ граничные условия приобретают вид

$$f \sim 5F_0^{\frac{1}{2}} e^{\frac{3-x}{2}s} \quad \text{при} \quad s \rightarrow -\infty, \quad f \sim -\frac{5b}{2} e^{\frac{3}{2}s} (1 - e^s) \quad \text{при} \quad s \rightarrow 0. \quad (19)$$

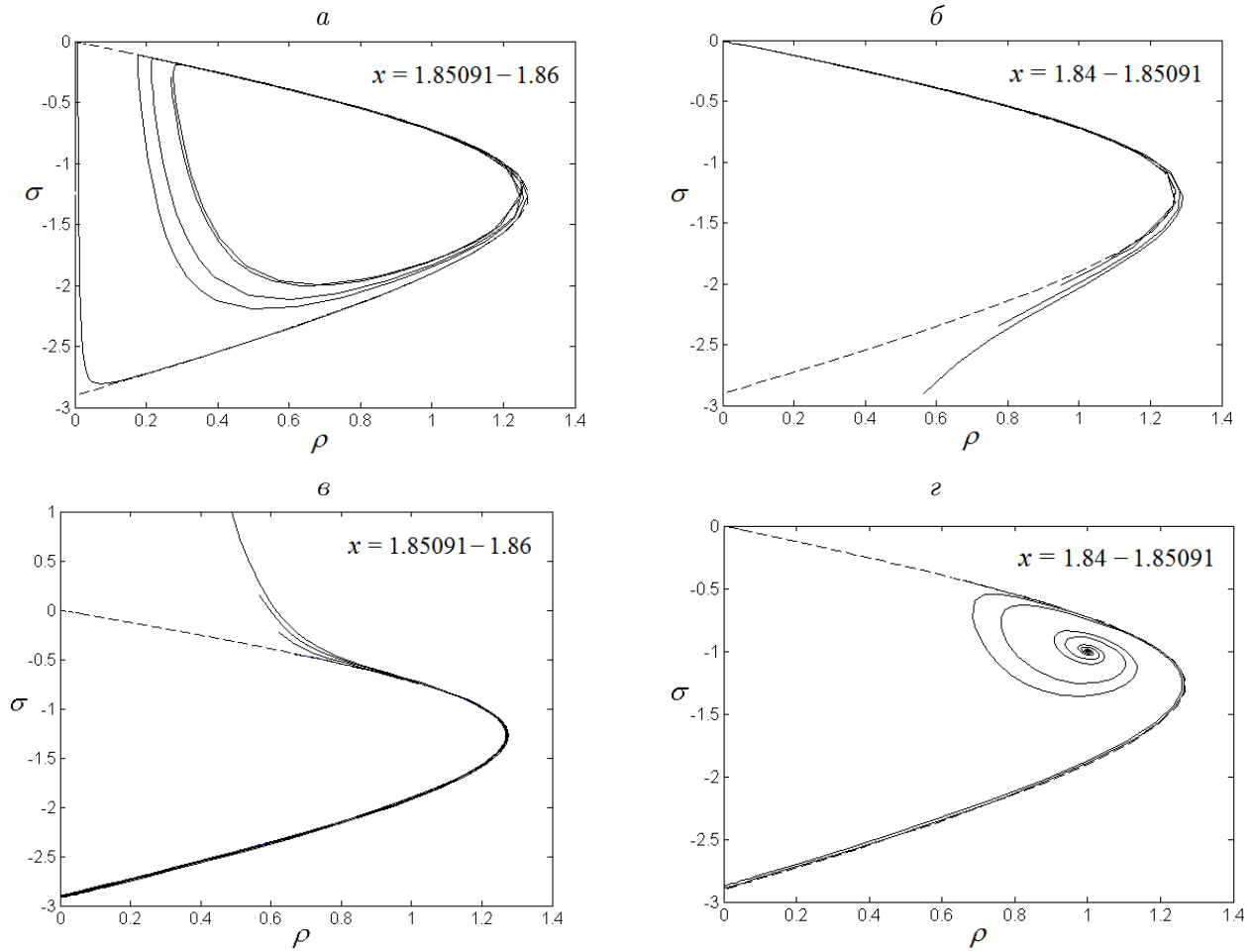


Рис. 2. Траектории, выходящие из точки P_1 (а, б) и точки P_2 (в, г) для параметров в диапазонах $x \in [x^*, 1.86]$ (а), $x \in [1.84, x^*]$ (б), $x \in [x^*, 1.86]$ (в), $x \in [1.84, x^*]$ (г)

Переход к независимой переменной τ определяется заменой

$$\tau = \int_{s_0}^s \frac{ds'}{f(s')}.$$

Константу s_0 необходимо определять из граничных условий (19) на функцию $f(s)$. Поскольку она имеет нули в начальной ($s = -\infty$) и фронтальной ($s = 0$) точках, то интеграл имеет особенности и необходимо выбирать точку $s_0 \in (-\infty, 0)$ так, что $f(s_0) > 0$. Интегрируя в граничных точках, получим

$$\int_{s_0}^s \frac{ds'}{f(s')} \sim \int \frac{ds}{5F_0^{\frac{1}{2}} e^{\frac{3-x}{2}s}} = \frac{1}{5F_0^{\frac{1}{2}}} \frac{2}{x-3} e^{\frac{(x-3)s}{2}} \rightarrow -\infty \quad \text{при } s \rightarrow -\infty,$$

$$\int_{s_0}^s \frac{ds'}{f(s')} \sim \int \frac{ds}{-\frac{5b}{2} e^{\frac{3}{2}s} (1-e^s)} \sim \frac{2}{5b} (-\ln(-s)) \rightarrow +\infty \quad \text{при } s \rightarrow -0.$$

Таким образом, граничные условия (18) задают область значений для независимой переменной τ .

Список литературы

- [1] CONNAUGHTON D., NAZARENKO S. Warm cascade and anomalous scaling in a diffusion model of turbulence // Phys. Rev. Lett. 2004. Vol. 92(4).
- [2] LEITH C. Diffusion approximation to inertial energy transfer in isotropic turbulence // Phys. Fluids. 1967. Vol. 10. P. 1409–1416.
- [3] BESNARD D., HARLOW F., RAUENZAHN R., AND ZEMACH C. // Theor. Comput. Fluid Dyn. 1996. Vol. 8(1).
- [4] СТАНЮКЕВИЧ К.П. Неустановившееся движение сплошной среды. Изд. 2-е. М.: Наука, 1971.
- [5] VON GUDERLEY G. Starke kugelige und zylindrische Verdichtungsstosse in der Nahe des Kugelmittelpunktes bzw. Der Zylinderachse // Luftfahrtforschung. 1942. Vol. 19.9. P. 302–312.
- [6] ЗЕЛЬДОВИЧ Я.Б., РАЙЗЕР Ю.П. Физика ударных волн и высокотемпературных гидродинамических явлений. Изд. 2-е, доп. М.: Наука, 1966. 688 с.
- [7] GRUNDY R.E. Large time solution of an inhomogeneous nonlinear diffusion equation // Proc. R. Soc. London. 2004. Vol. A386. P. 347–372.
- [8] CONNAUGHTON D., NAZARENKO S. A Model Equation for Turbulence. arXiv:physics/0304044. 2004.
- [9] MARSDEN J.E., MCCracken M. The Hopf Bifurcation and its Application. New York: Springer-Verlag, 1976.

*Поступила в редакцию 11 сентября 2013 г.,
с доработки — 12 ноября 2013 г.*